

Miniproyecto #2

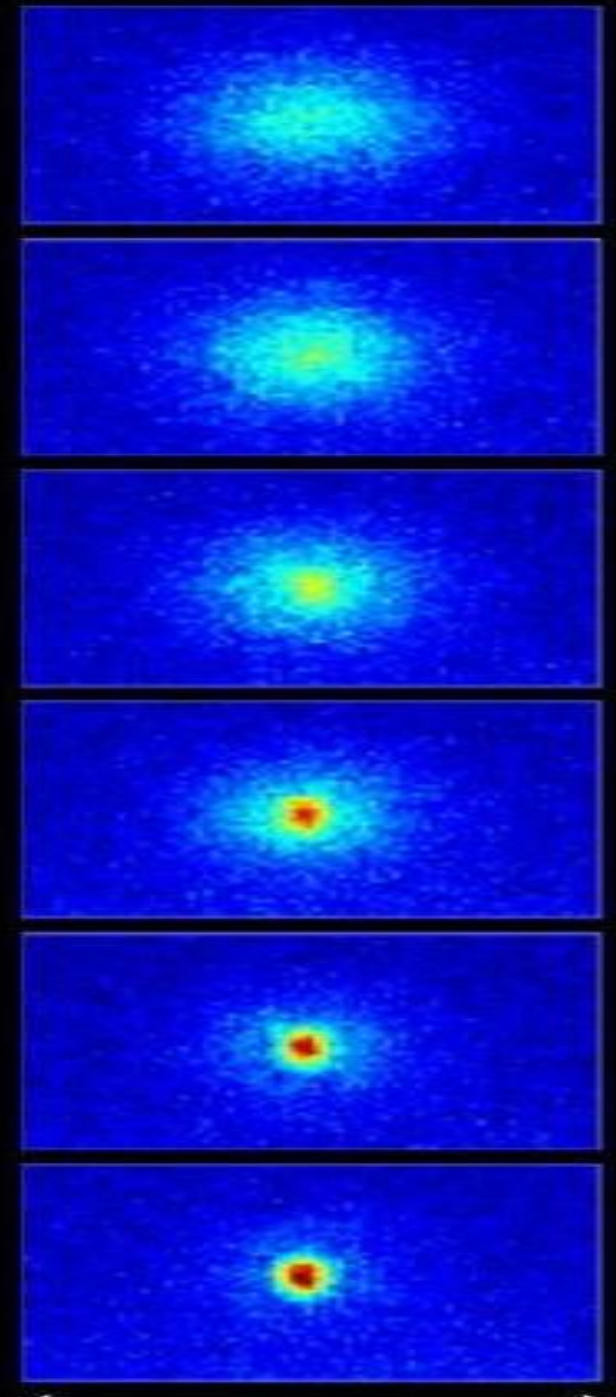
Where are the particles when the box is hot?

César Antonio Hoyos Peláez

Curso: Física Estadística

Semestre: 2023-II

**Instituto de Física, Facultad de Ciencias Exactas y
Naturales, Universidad de Antioquia UdeA, Calle 70
No. 52-21, Medellín, Colombia.**



Contenido

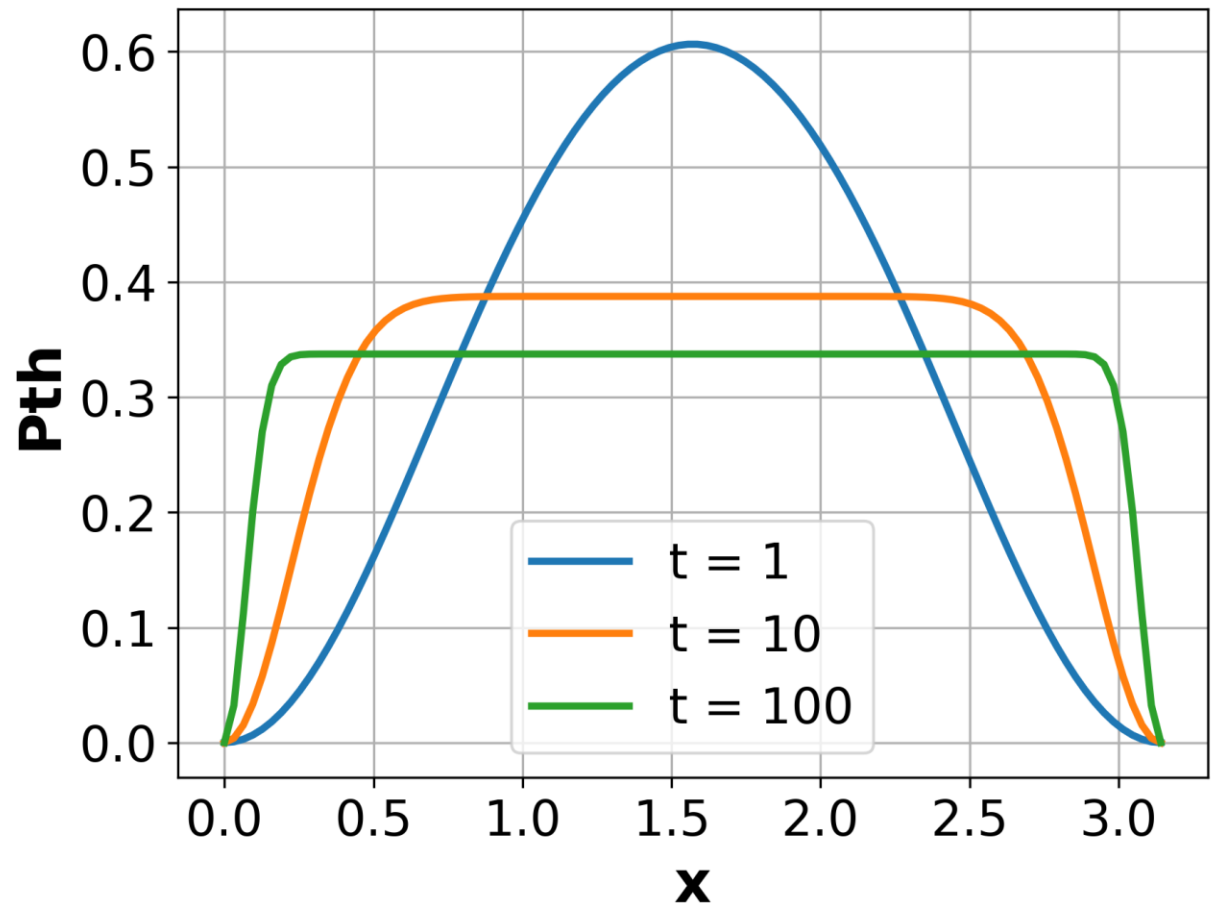
1. Introducción.
2. Partícula en un pozo infinito de potencial conectado a un reservorio de temperatura T .
3. Dos bosones en un pozo infinito de potencial.
4. Dos fermiones en un pozo infinito de potencial.
5. Dos bosones en contacto con un reservorio térmico a temperatura T .
6. Dos fermiones en contacto con un reservorio térmico a temperatura T .
7. Dos fermiones con espín en un pozo de potencial infinito.
8. Dos fermiones con espín en un pozo de potencial infinito conectado a un reservorio de temperatura T .

Partícula en pozo de potencial infinito a T

$$\psi_n(X, t) = \sqrt{\frac{2}{L}} \sin\left(\frac{n\pi}{L} X\right) \exp\left(-i \frac{2\pi E_n t}{\hbar}\right)$$

Calculo de la densidad de probabilidad de encontrar una partícula de masa m en un pozo de potencial infinito de ancho L en contacto con un reservorio térmico de temperatura T.

$$P_{th}(x, t) = \frac{2}{\pi} \frac{\sum_{n=1}^{\infty} (\sin(nx))^2 \exp(-\frac{n^2}{t})}{\sum_{n=1}^{\infty} \exp(-\frac{n^2}{t})}$$

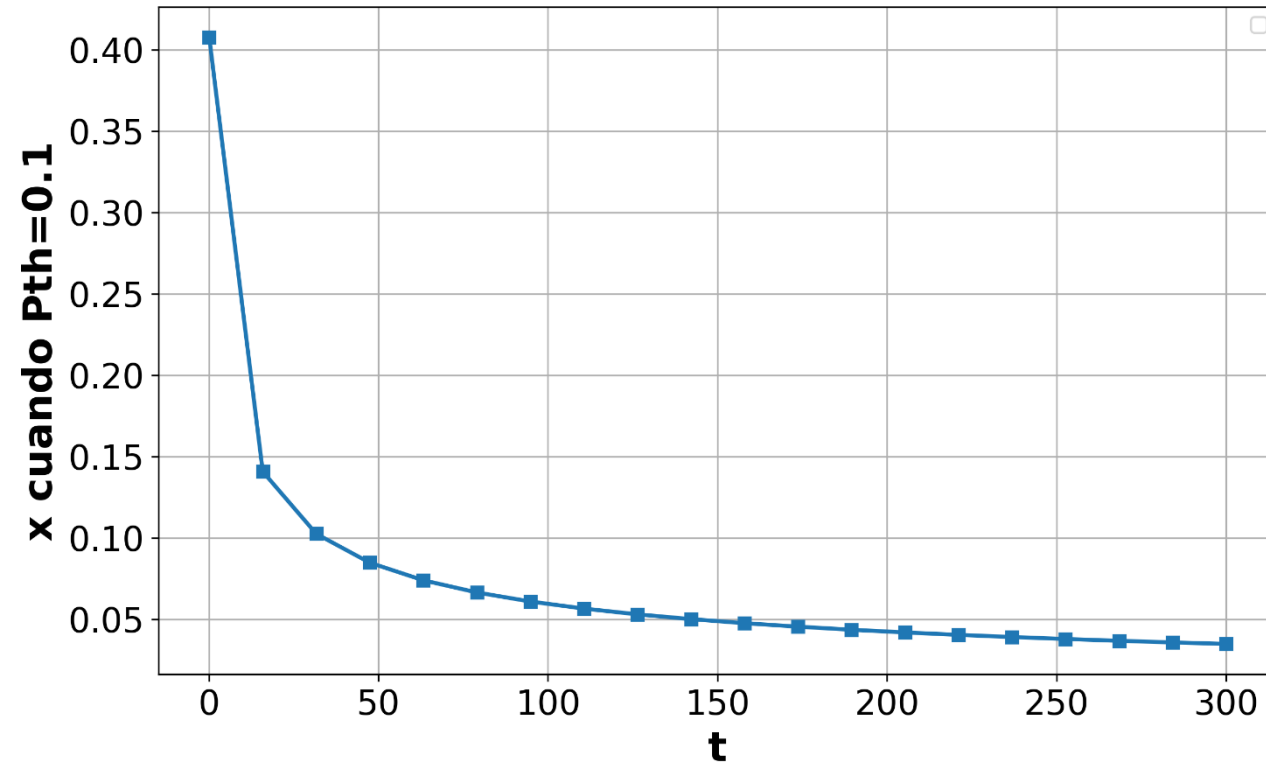


Partícula en pozo de potencial infinito a T

$$P_{th}(x, t) = \frac{2}{\pi} \frac{\sum_{n=1}^{\infty} (\sin(nx))^2 \exp(-\frac{n^2}{t})}{\sum_{n=1}^{\infty} \exp(-\frac{n^2}{t})}$$

Se gráfica x en función de la temperatura.
Es decir, para que valor de x, con una
temperatura fija dada se tiene que:

$$P_{th}(x?, t \rightarrow dada) = 0.1$$



Dos bosones

Para los bosones se tiene:

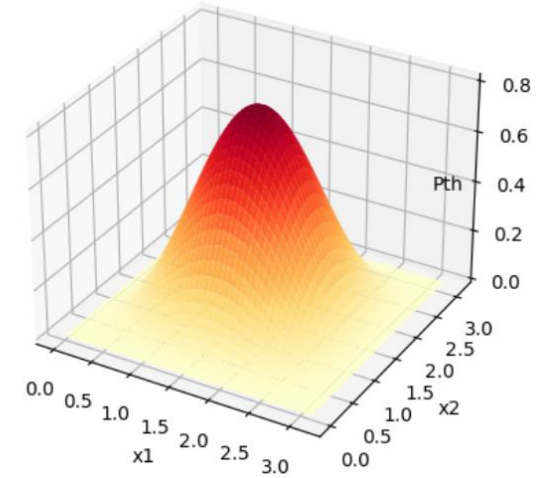
1. Partículas con espín entero (no se considera).
2. Función de onda simétrica.
3. Exentos de exclusión.

$$\psi_{n_1, n_2}^b(x_1, x_2) = \frac{1}{\sqrt{2}} [\phi_{n_1}(x_1)\phi_{n_2}(x_2) + \phi_{n_1}(x_2)\phi_{n_2}(x_1)]$$

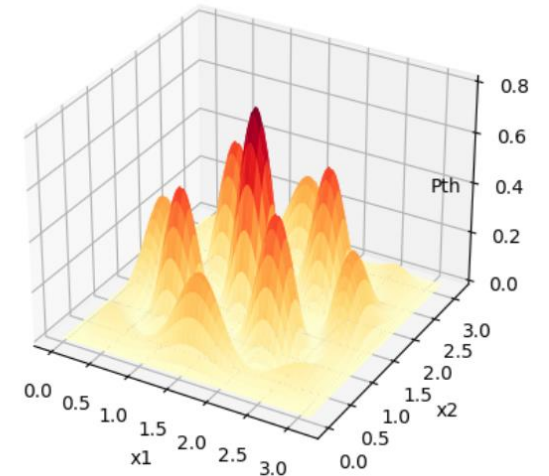


$$P_{n_1, n_2}^b(x_1, x_2) = \frac{2}{\pi^2} [\sin(n_1 x_1) \sin(n_2 x_2) + \sin(n_1 x_2) \sin(n_2 x_1)]^2$$

Pth Bosones con niveles de energia $n_1 = 1$ y $n_2 = 1$



Pth Bosones con niveles de energia $n_1 = 1$ y $n_2 = 5$



Dos fermiones

Para los fermiones se tiene:

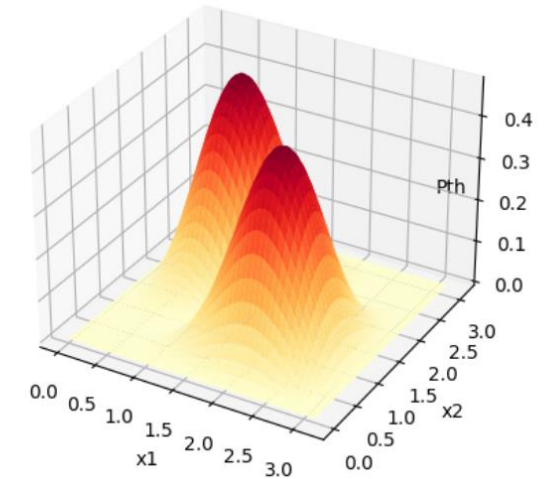
1. Partículas con espín semi-impar (no se considera).
2. Función de onda antisimétrica.
3. Cumplen principio de exclusión de Pauli.

$$\psi_{n_1, n_2}^f(x_1, x_2) = \frac{1}{\sqrt{2}} [\phi_{n_1}(x_1)\phi_{n_2}(x_2) - \phi_{n_1}(x_2)\phi_{n_2}(x_1)]$$

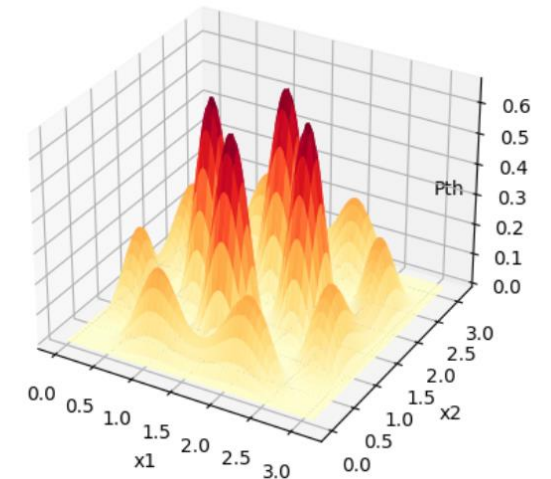


$$P_{n_1, n_2}^f(x_1, x_2) = \frac{2}{\pi^2} [\sin(n_1 x_1) \sin(n_2 x_2) - \sin(n_1 x_2) \sin(n_2 x_1)]^2$$

Pth Fermiones con niveles de energia $n_1 = 1$ y $n_2 = 2$



Pth Fermiones con niveles de energia $n_1 = 1$ y $n_2 = 5$



Dos bosones en contacto con reservorio térmico

Para un sistema de N partículas y degeneración fija g la cantidad de microestados posibles es:

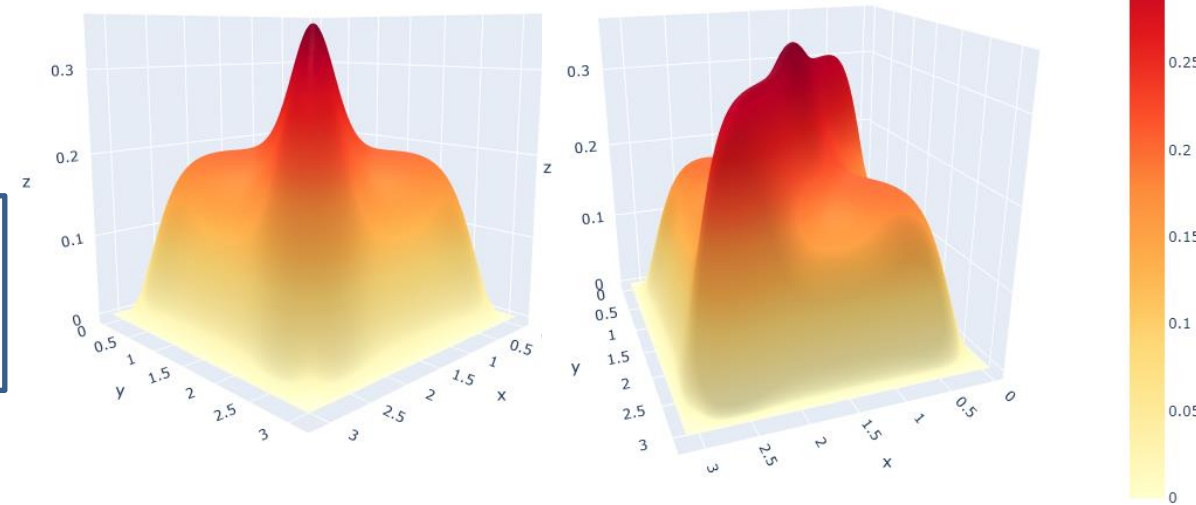
$$\Omega = \binom{g + N - 1}{N} \rightarrow \Omega = \binom{n_{max} + N - 1}{N}$$



$$\sum_{n_1=1}^3 \sum_{n_2=n_1}^3 \rightarrow (1, 1), (1, 2), (1, 3), (2, 2), (2, 3), (3, 3)$$



$$P_{th}^b(x_1, x_2, t) = \frac{2}{\pi^2} \frac{\sum_{n_1=1}^{n_{max}} \sum_{n_2=n_1}^{n_{max}} [\sin(n_1 x_1) \sin(n_2 x_2) + \sin(n_1 x_2) \sin(n_2 x_1)]^2 \exp(-\frac{n_1^2 + n_2^2}{t})}{\sum_{n_1=1}^{n_{max}} \sum_{n_2=n_1}^{n_{max}} \exp(-\frac{n_1^2 + n_2^2}{t})}$$

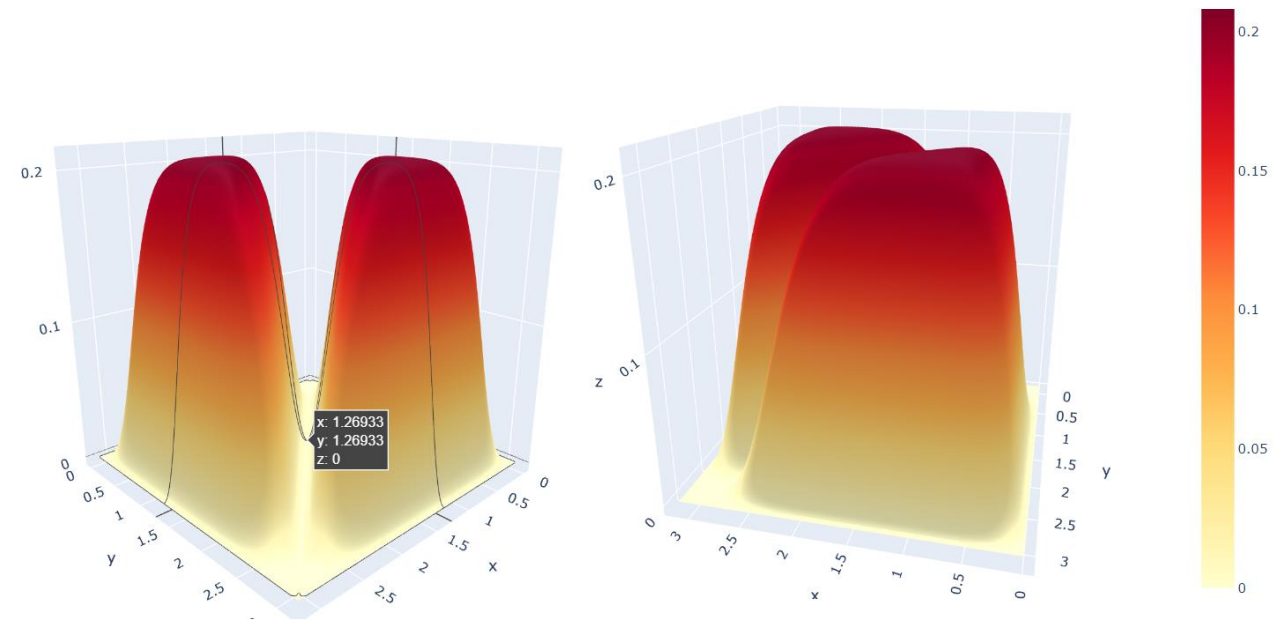


Dos fermiones en contacto con reservorio térmico

De manera similar para el caso de fermiones se tiene que la cantidad de microestados posibles es:

$$\Omega = \binom{g}{N} \rightarrow \Omega = \binom{n_{max}}{N}$$

$$\sum_{n_1=1}^2 \sum_{n_2=n_1+1}^3 \leftrightarrow (1, 2), (1, 3), (2, 3)$$

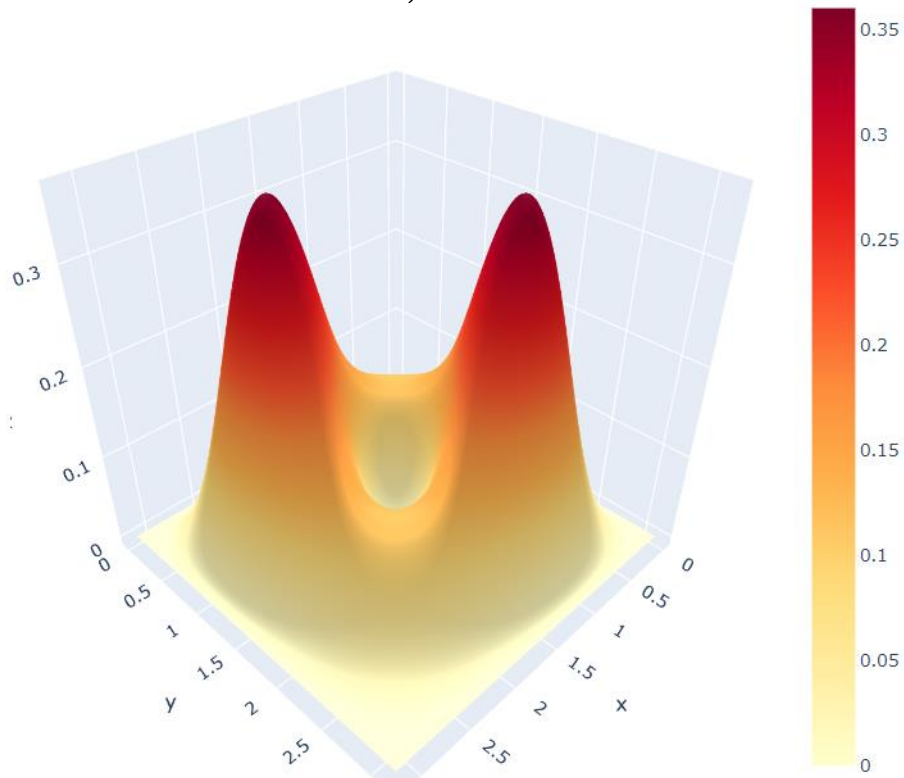


$$P_{th}^f(x_1, x_2, t) = \frac{2}{\pi^2} \frac{\sum_{n_1=1}^{n_{max}-1} \sum_{n_2=n_1+1}^{n_{max}} [\sin(n_1 x_1) \sin(n_2 x_2) - \sin(n_1 x_2) \sin(n_2 x_1)]^2 \exp(-\frac{n_1^2 + n_2^2}{t})}{\sum_{n_1=1}^{n_{max}-1} \sum_{n_2=n_1+1}^{n_{max}} \exp(-\frac{n_1^2 + n_2^2}{t})}$$

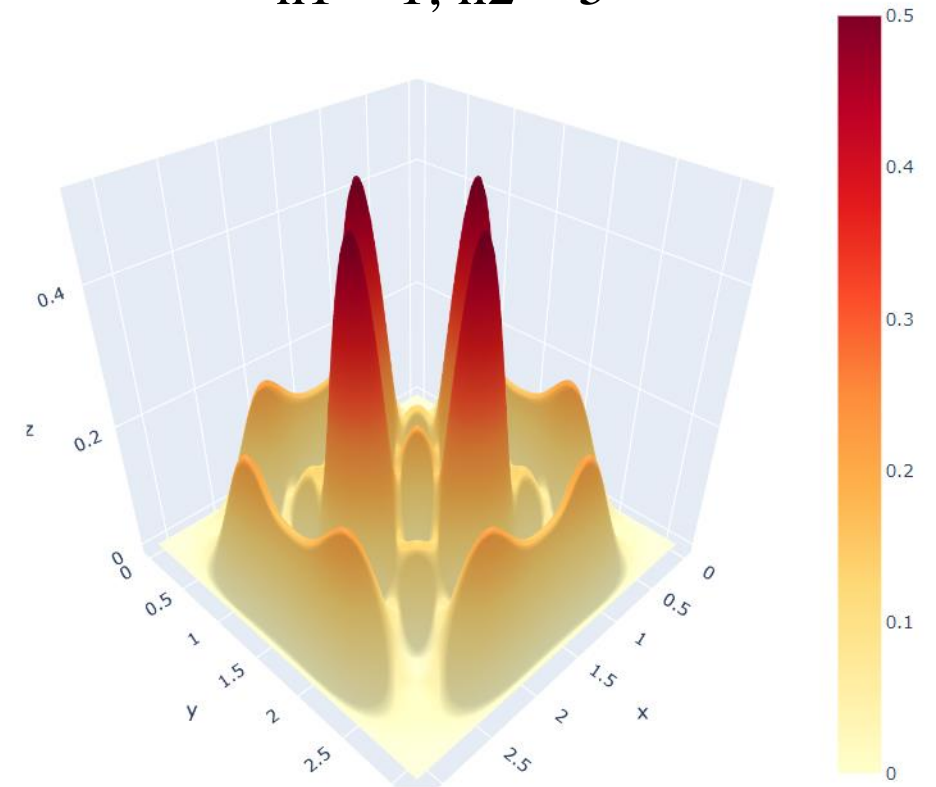
Dos fermiones con espín

$$P_{n_1, n_2}(x_1, x_2) = \frac{1}{4} \left(\frac{1}{2} [\phi_{n_1}(x_1)\phi_{n_2}(x_2) + \phi_{n_1}(x_2)\phi_{n_2}(x_1)]^2 \right) + \frac{3}{4} \left(\frac{1}{2} [\phi_{n_1}(x_1)\phi_{n_2}(x_2) - \phi_{n_1}(x_2)\phi_{n_2}(x_1)]^2 \right)$$

$n_1 = 1; n_2 = 2$



$n_1 = 1; n_2 = 5$

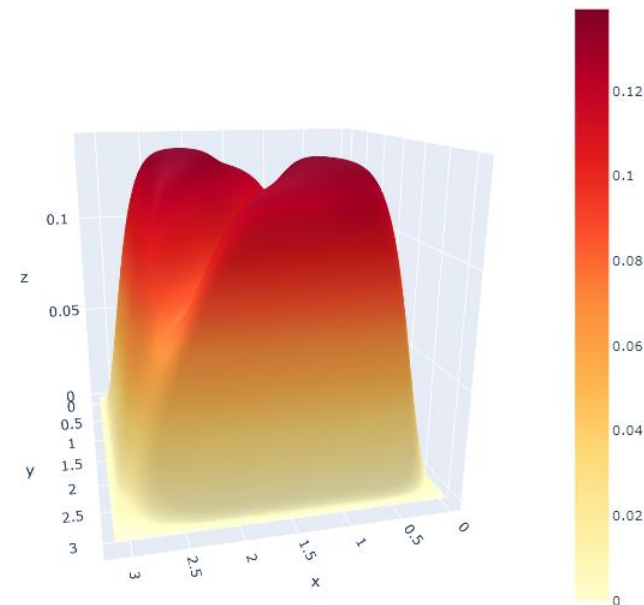
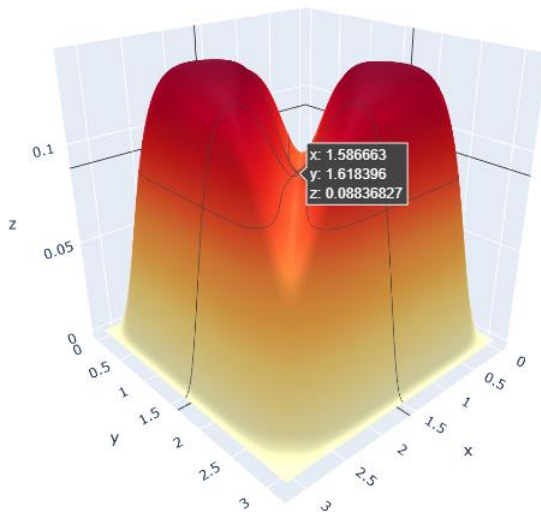


Dos fermiones con espín en contacto con reservorio térmico

$$P_{n_1, n_2}(x_1, x_2) = \frac{1}{4} \left(\frac{1}{2} [\phi_{n_1}(x_1)\phi_{n_2}(x_2) + \phi_{n_1}(x_2)\phi_{n_2}(x_1)]^2 \right) + \frac{3}{4} \left(\frac{1}{2} [\phi_{n_1}(x_1)\phi_{n_2}(x_2) - \phi_{n_1}(x_2)\phi_{n_2}(x_1)]^2 \right)$$



$$P_{th}(x_1, x_2, t) = \frac{\sum_{n_1=1}^{n_{max}} \sum_{n_2=n_1}^{n_{max}} P_{n_1, n_2}(x_1, x_2) \exp\left[-\frac{n_1^2 + n_2^2}{t}\right]}{\sum_{n_1=1}^{n_{max}} \sum_{n_2=n_1}^{n_{max}} \exp\left[-\frac{n_1^2 + n_2^2}{t}\right]}$$



Conclusiones y perspectivas

- Los resultados obtenidos demuestran que los bosones exhiben un comportamiento simétrico, mientras que los fermiones tienen un comportamiento antisimétrico. Esto se debe a las consideraciones de simetría o anti simetría de la función de onda.
- Cuando un sistema de fermiones o bosones se pone en contacto con un reservorio térmico la densidad de probabilidad se vuelve uniforme.
- Al introducir fermiones con espín $\frac{1}{2}$ en el sistema se evidencia que la función densidad de probabilidad tiene una componente de simetría, la cual proviene de considerar la función de onda espacial asociada a un singlete de espín.
- Este trabajo puede ser extendido al estudio de:
 - Observar y demostrar el comportamiento de la función densidad de probabilidad y densidad de probabilidad termalizada en el caso de fermiones que tengan un espín superior.
 - Analizar el caso para mayor cantidad de bosones y fermiones.

Referencias

- [1] Miranda, E. N. (2019). Where are the particles when the box is hot?. European Journal of Physics, 40(6), 065401.
- [2] Galindo, A., & Pascual, P. (2012). Quantum mechanics I. Springer Science & Business Media.